

铝合金结构

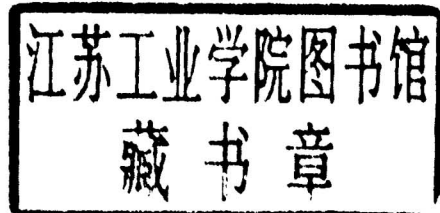
Federico M·Mazzolani 著

魏承景 译

铝合金结构

Federico M·Mazzolani 著

魏承景 译



广西教育出版社

内 容 简 介

铝合金结构是一门较新的学科。本书原作者曾任欧洲钢结构会议铝合金结构委员会主席近十年。此书是他根据该国际性机构多年实验研究和各国对铝合金结构的研究成果写成，是该学科有代表性的著作。书中利用大量图表、数据和公式系统全面地阐述了铝合金的性质和铝合金型材的各种性能、连接方法、结构件设计计算方法和稳定性验算等内容；引入“工业杆”等概念；并从头至尾重视铝合金和铝合金结构与钢和钢结构差别的叙述，使铝合金结构的特点更为突出。

本书供从事土木工程设计、施工和科研的工程技术人员，从事飞机、车辆、船舶等设计、制造和科研的工程技术人员，铝合金生产和研究部门的科技人员使用；也供以上各专业的大、中专院校师生参阅。

Aluminum alloy structures

Federico M·Mazzolani

1985



铝 合 金 结 构

魏承景 译



广西教育出版社出版、发行

(南宁市七一路7号)

广西民族印刷厂印刷

*

开本 850×1168 1/32 15.75 印张 380 千字

1991年6月第1版 1991年6月第1次印刷

印数：1—1300 册

ISBN 7-5435-1288-2/T·10 定价：7.80元

译者说明

铝合金具有体轻、高强、外观光亮而又耐腐蚀的特点，很受人们欢迎。它作为工程材料的历史比钢材短，在土木工程中的应用更是近几十年的事。因此，铝合金结构是一门比较新的学科。

欧洲钢结构会议铝合金结构委员会主席Federico M·Mazzolani 所著的《铝合金结构》(Aluminum alloy structures)一书是该学科有代表性的著作。他根据该国际性机构多年实验研究和世界各国对铝合金结构的研究成果、系统全面地阐述了铝合金和铝合金型材的性能、连接方法、结构设计计算方法和结构稳定性等内容，并从头至尾重视铝合金结构和钢结构差别的叙述，使铝合金结构的特点更为突出。

铝合金在我国土木工程领域中的应用已经开始，对铝合金结构性能的研究也在进行。随着铝产量的增加，应用和研究必将不断扩大。为了满足教学、科研和设计施工实际工作的需要、促进该学科的发展，及时翻译出版该书就显得十分必要。

译者出于上述考虑，利用工隙和业余时间进行了翻译。译时，人名和地名除熟知者外均保留或附以原文，以便于读者与其他文献对照查阅。原书的图和表都统一编号，译时根据我国习惯将图与表分开编号，正文中涉及图和表的编号都一一做了相应的更改。图表、数据和公式均按原文，个别明显的印刷错误已作了更正。一些难于用汉字简译的词则附以原文，以便于读者意会原意。书末还列出常用词的英汉对照，供读者查阅。

译者在翻译出版本书时得到中国有色金属工业总公司南宁公司、平果铝业公司的大力支持，还得到广西有色金属工业管理

局、南宁铝厂、德胜铝厂、广西金属学会、广西土建学会冶金建筑分会从各方面给予的支持，谨一并在此表示衷心的感谢！

本书翻译难度较大，除了必要的翻译能力和技巧外还需要较宽的专业知识面。译者水平有限，尽管用词造句都反复斟酌、以期尽可能符合原意，仍难免有错误不当处，谨请读者指正！

魏承景

1990年1月于南宁

原 书 序

1979年，我意识到是将我在欧洲钢结构会议铝合金结构委员会工作时所获资料组织写成一本书、供多半都熟悉有关钢结构问题、从事土木工程和机械工程设计的工程师们阅读的时候了。

这本书是十年研究的结晶。在此期间，我从理论探讨、实验检测、设计和技术标准等各方面对铝合金结构进行了研究。

1970年在我被任命为欧洲钢结构会议铝合金结构委员会主席的时候，对于铝的知识只限于非结构性应用。过了一些时候，我就已经对铝合金结构的理论和实验研究以及设计都大感兴趣了。

委员会的主要目的是，加速铝合金结构领域的调查研究，收集全部已有文献，并根据欧洲钢结构会议以往研究钢结构的同样原则制订铝合金结构规程。许多问题都通过研究计划做了系统的研究。感谢委员会成员的合作，研究计划都付诸实施并很好的完成。委员会成员代表欧洲一些国家，这些国家中有的还给委员会提供了财政支援。那不勒斯(Naples)、列日(Liège)、卡尔斯鲁厄(Karlsruhe)、毕尔巴鄂(Bilbao)、剑桥(Cambridge)等大学，诺瓦拉(Novara)的轻金属试验所，巴黎的佩希内铝业公司(Aluminum Pechiney)，代尔夫特(Delft)的荷兰全国应用科学研究中心(TNO)，杜塞尔多夫(Düsseldorf)的中心铝厂(Aluminum Zentrale)，苏黎世的瑞士铝业公司(Alusuisse)以及其他国际团体间开展了积极的和富有成果的合作。这种合作是大学和工业企业之间相互补偿和补充的良好范例。

委员会开展连续和扩大的研究，产生了第一个欧洲铝合金结

构规程(ERAAS)，于1978年公布。

委员会第一任主席、我的朋友和同事Augusto Carpena 不幸于几个月前逝世。我不能错过这个机会使认识他的人想起他，并和我一样给他以高度的评价，特别是他的职业品质和伟大的人道主义。

以往十年我一直得到 Ciro Faella 和 Attilio De Martino 的帮助，他们完成了我广泛涉及的许多研究课题。和每一篇好的序言一样，首先对他们表示衷心的感谢。

我也非常感谢 Antonello De Luca，他在完成这个课题的研究报告后，又在编写本书中紧密合作。

我还非常感谢下列人员：绘制图表的 Guido Capria，手稿打字的 Giuseppe Stasio，润色正文从而使它甚至对于剑桥文人也值得一读的 Ian Robertson。

Federico M. Mazzolani

符号一览表

a	距离, 间距; 几何尺寸; 贴角焊焊喉截面厚度	$f_{d,0}$	焊缝金属设计强度
b	宽度	$f_{d,r}$	铆钉设计强度
b_{eff}	有效宽度	$f_{d,red}$	热影响材料的设计强度
b_f	翼缘宽度	$f_{d,v}$	螺栓设计抗剪强度
b_h	热影响区半宽	$f_{d,w}$	对接焊缝设计强度
b_r	强度折减区半宽	f_e	弹性极限
b_w	腹板宽度	f_k	特征强度
c	几何尺寸; 比热	f_{lim}	极限强度
d	直径; 螺栓体直径; 有 限元长度	$f_{lim}^{(+)}$	预拉(压)应力为 $f_{lim}^{(+)}$ 的材料抗压(拉)极限强 度
e	偏心距	$f_{o,lim}$	原材料极限强度
e^*	初始偏心距	f_m	平均强度
$e_x(e_y)$	$x(y)$ 方向偏心分量	f_p	比例极限
e_o	重心与剪力中心间的距 离	f_t	极限抗拉强度
f	强度	f_u	极限强度
\bar{f}	无量纲强度值	f_y	屈服强度
f_c	抗压强度	f_{yb}	螺栓屈服强度
$f_{c,k}$	抗压强度特征值	f_{eo}	产生残余变形 ϵ_0 的应 力
$f_{c,m}$	抗压强度平均值	f_o	参考强度
f_d	设计强度	$f_{0.01}$	残余变形为 0.01% 时的 常规强度
$f_{d,b}$	螺栓设计强度	$f_{0.1}$	残余变形为 0.1% 时的 常规强度
$f_{d,N}$	螺栓设计抗拉强度		

$f_{0.2}$	残余变形为 0.2% 时的常规强度	t_t	翼缘厚度
$f_{0.2}^*$	$f_{0.2}$ 的折减值	t_{\min}	最小厚度
h	梁腹板高度	t_w	腹板厚度
i	回转半径	u, v, w	在 x, y, z 方向的位移分量
i_m	平均回转半径	v	速度
i_{\min}, i_{\max}	最小(大)回转半径	v_0	初始弯曲度, 简支梁跨中挠度
i_{nom}	公称回转半径	v_{\max}	梁最大挠度
$i_x(i_y)$	绕 x(y) 轴的回转半径	v_M	由弯矩产生的挠度
k	数值系数; 折减系数; 导热系数	v_r	残余挠度
$k_{o,x}(k_{o,y})$	矩形板两对边受 x(y) 方向正应力作用时的压曲系数	v_v	由剪力产生的挠度
k_T	矩形板受剪应力作用时的压曲系数	x	
l	参看 L	y	坐标
m	……的数量; 数值指数	z	
n	……的数量; 数值指数	y	点与截面形心的距离
n_b	接头中的螺栓数	A	面积
n_f	螺栓连接接头中的摩擦面数	A_d	斜杆面积
p	概率; 螺栓间距	A_{exp}	‘实验’面积
p_k	对应于一组随机变量特征值的概率	A_f	翼缘面积
q	分布活荷载(单位 长度或单位面积)	A_h	强度折减区面积
q_{nom}	公称分布荷载	A_m	平均面积
s	偏差, 标准差	A_n	净面积
t	厚度	A_{nom}	公称面积
		A_{red}	折算面积
		A_{res}	抵抗面积
		$A_s(A_{s,1}; A_{s,t})$	加劲肋面积(纵向; 横向)
		A_t	横向杆面积
		A_w	腹板面积; 焊缝面积
		B	Ramberg-Osgood 定律

	参数; 变换矩阵		
C	变换矩阵	I_t	加劲肋的惯性矩)
D	板抗弯劲度; 对角矩阵	I_T	横向杆惯性矩
E	外荷载做的功; 杨氏模量	$I_x(I_y)$	扭转惯性矩
E_s	割线模量	I_ω	对x(y)轴的惯性矩
E_t	瞬时切线模量	L	翘曲惯性矩
$E_{t,m}$	平均切线模量	L_c	长度
F	力, 外力, 荷载	$L_{c,h}$	压杆有效长度
F_d	设计荷载	L_d	水平有效长度
F_k	力的特征值	L_t	斜杆长度
F_m	力的平均值	L_w	肢杆间距
F_N	产生轴向应力的力	L_0	焊缝长度
F_s	收缩力		试件参考点初始距离;
F_t	腱力		桁架节点距离; 肋间板
F_v	产生剪应力(螺栓连接接头中)的力		长度
$F_{v,u}$	产生极限剪应力的力	M	力矩; 弯矩
$F_{v,f}$	螺栓连接接头中的滑动力	$M_a(M_b)$	a(b)边的弯矩
$F_{0.2}$	对应于应力达到 $f_{0.2}$ 的力	$M_{cr,D}$	在弹性范围内弯扭压曲的欧拉临界力矩
G	切变模量; 恒载	M_D	梁弯扭压曲力矩
G_k	恒载特征值	M_e	弹性力矩(对应于截面上一点达到弹性极限)
G_t	切线切变模量	$M_x(M_y)$	绕x(y)轴的弯矩
I	平面面积惯性矩	M_{eq}	等效弯矩
I_m	平均惯性矩	M_m	平均弯矩
I_{nom}	截面公称惯性矩	M_{max}	最大弯矩
I_{red}	折算惯性矩	M_{pl}	塑性力矩(对应于截面塑性破坏)
$I_s(I_{s,L}; I_{s,t})$	加劲肋的惯性矩(纵向加劲肋的惯性矩, 横向	$M_{pl,x}(M_{pl,y})$	绕x(y)轴弯曲的塑性力矩
		M_u	极限弯矩
		M_0	跨中弯矩

$M_{0.2}$	对应于截面上一点达到 应力 $f_{0.2}$ 的弯矩	S_{red}	折算静矩
N	轴向力	$S_x(S_y)$	对x(y)轴的静矩
\bar{N}	无量纲轴向力	T_s	扭矩(每根螺栓)
N_c	受压构件最大承载力	V	剪力
$N_{c,k}$	压杆特征破坏荷载	$V_{d,b}$	单个承压螺栓设计力
$N_{c,m}$	压杆平均破坏荷载	$V_{d,t}$	单个抗拉螺栓设计力
N_{cr}	欧拉临界荷载	V_{eq}	等效剪力
N_d	杆件设计强度	V_f	螺栓连接接头中的滑动 力
N_f	翼缘轴向力	$V_{f,0}$	单个受剪螺栓的摩擦力
N_{ref}	参考轴向力	$V_{f,red}$	单个受剪并受拉螺栓的 折算摩擦力
N_s	紧固螺栓产生的预拉 力	V_u	极限剪力
N_u	极限轴向力	$V_{u,f}$	翼缘极限剪力
$N_{0.2}$	对应于应力 $f_{0.2}$ 的轴向 力	$V_{u,w}$	腹板极限剪力
Q	可变荷载; 活荷载; 热 量	W	弹性截面模量(受弯)
Q_e	异常荷载条件	W_c	对受压边缘的弹性截面 模量
Q_k	可变荷载特征值	W_{red}	折算弹性截面模量
$Q_{k,i}$	可变荷载 i 的特征值	W_t	对受拉边缘的弹性截面 模量
R	一般抗力	$W_x(W_y)$	绕x(y)轴弯曲的弹性截 面模量
R_b	螺栓连接头的抗力	X	平行于x轴的力
R_t	极限抗拉力	Y	平行于y轴的力
$R(\cdot)$	取决于给定应力的抗力	Z	平行于z轴的力; 塑性 截面模量(受弯)
S	平面面积的一次矩(静 矩); 内力; 作用力效 应; 应力含量		

希腊字母符号

α	角; 比; 指数; 系数; 极限挠度 ($=v_{\max}/L$); 截面形状系数; 热膨胀 系数	γ_t	横向加劲肋相对弯曲刚 度
α_p	截面几何形状系数	γ_b^*	横向加劲肋最佳相对弯 曲刚度
β	角; 比; 指数; 系数; 压曲系数(用于计算压 曲长度); 冶金效率系 数	γ_v	螺栓抗剪强度折减系数
γ	无量纲系数; 剪应变; 局部压曲系数; 比重; 加劲肋相对弯曲刚度	δ	变异系数; 加劲肋相对 轴向刚度
γ^*	加劲肋最佳相对弯曲刚 度	δ_L	纵向加劲肋相对轴向刚 度
γ^{**}	加劲肋实际相对弯曲刚 度	δ_t	横向加劲肋相对轴向刚 度
γ_f	螺栓连接接头摩擦力折 减系数	ϵ	应变
γ_F	分项荷载系数	$\dot{\epsilon}$	无量纲应变值
γ_G	恒载分项荷载系数	ϵ_e	弹性极限应变
γ_L	纵向加劲肋相对弯曲刚 度	$\epsilon_{f_{0.2}}$	对应于应力 $f_{0.2}$ 的应 变
γ_L^*	纵向加劲肋最佳相对弯 曲刚度	ϵ_{\max}	最大应变
γ_m	材料强度折减系数	ϵ_p	比例极限应变
γ_N	螺栓轴向强度折减系数	ϵ_r	残余应变
γ_Q	可变荷载分项荷载系数	ϵ_t	破坏应变
		ϵ_u	极限应变
		ϵ_0	参考变形, 截面重心变 形
		$\epsilon_{0.2}$	0.2%的变形
		η	无量纲系数; 折减系数 对接焊缝效率系数

β	无量纲系数; 角; 转角	$\sigma_{cr,0}$	欧拉临界应力(对无限长板)
λ	细长度	$\sigma_{cr,x}(\sigma_{cr,y})$	在x和y方向同时受轴向力作用的矩形板在x(y)方向的欧拉临界应力
$\bar{\lambda}$	正规化细长度		
λ_{eq}	等效细长度		
λ_m	弯扭压曲时的正规化细长度		
λ_0	常规比例细长度	$\sigma_{cr,x,0}(\sigma_{cr,y,0})$	只在x(y)方向受轴向力作用的矩形板的欧拉临界应力
$\lambda_x(\lambda_y)$	绕x(y)轴弯曲的细长度		
μ	系数; 无量纲比值; 摩擦系数; 轴向荷载与欧拉临界荷载的比	$\sigma_{cr,id}$	理想临界应力
ν	泊松比; 安全系数	$\sigma_{cr,red}$	折算临界应力
$\nu_{0.2}$	对弹性极限的安全系数	σ_f	翼缘应力
ν_c	对弹 / 塑极限的安全系数	σ_g	恒载应力
ν_u	对极限强度的安全系数	σ_{gt}	温度应力
ξ	无量纲系数	σ_{id}	理想应力
ρ	系数, 无量纲比值	σ_{lim}	极限应力
σ	正应力	σ_{max}	最大应力
$\bar{\sigma}$	无量纲应力	σ_q	活载应力
σ_{adm}	容许应力	σ_{qs}	雪载应力
$\sigma_{adm,b}$	螺栓容许应力	σ_{qse}	异常雪载应力
$\sigma_{adm,w}$	焊缝容许应力	σ_{qsr}	折算雪载应力
σ_c	受压构件破坏应力	σ_{qsre}	异常雪载折算应力
σ_{cglob}	总体压曲破坏应力	σ_{qw}	风载应力
$\sigma_{c,k}$	特征破坏应力	σ_{qwe}	异常风载应力
$\sigma_{c,loc}$	局部压曲破坏应力	σ_r	残余应力
$\sigma_{c,m}$	平均破坏应力	$\sigma_{r,c}(\sigma_{r,t})$	残余压(拉)应力
σ_{cr}	欧拉临界应力(对受压构件)	σ_w	腹板应力
		$\sigma_x, \sigma_y, \sigma_z$	正应力分量
		$\sigma_1, \sigma_2, \sigma_3$	主应力
		$\sigma_{\perp}, \sigma_{\parallel}$	焊缝正应力(指焊喉截面)

τ	剪应力	ψ	无量纲系数; 考虑弯曲时部分应力重分布的系数(塑性调整系数)
τ_{adm}	容许剪应力	ψ_i	可变荷载组合荷载系数
τ_{admsb}	螺栓容许剪应力	$\psi_x(\psi_y)$	绕x(y)轴弯曲的塑性调整系数
τ_{admr}	铆钉容许剪应力	ω	轴向荷载增加系数
$\tau_{adm,w}$	焊缝容许剪应力	Δ	延性系数
$\tau_{xy}, \tau_{xz}, \tau_{yz}$	剪应力分量	ΔA	单元面积
τ_x, τ_{II}	焊缝剪应力(指焊喉截面)	ΔL	长度变量
φ	无量纲系数; 转角	Δt	厚度变量
χ	无量纲系数; 曲率	ΔT_s	结构预期寿命
χ_{lim}	极限曲率	Δz	部分长度
χ_r	残余曲率	Δx	x 的增量
χ_t	对应于极限应变 ϵ_t 的曲率	Λ	荷载系的乘数
$\chi_{0.2}$	对应于应变 $\epsilon = f_{0.2}/E$ 的曲率	ϕ	孔洞或杆件直径

目 录

译者说明

原书序

符 号	(I)
1 铝和它的合金	(1)
1.1 引言	(1)
1.2 铝的诞生	(3)
1.3 生产方法	(4)
1.4 合金分类	(9)
1.5 合金系	(29)
1.6 物理性质和机械性能	(30)
1.7 一般设计准则	(37)
参考文献	(42)
2 结构材料	(45)
2.1 种类和形状	(45)
2.2 $\sigma-\epsilon$ 规律表征	(50)
2.3 工业杆定义	(74)
2.4 几何缺陷	(75)
2.5 机械性能缺陷	(79)
参考文献	(141)
3 安全原理	(147)
3.1 发展趋势	(147)
3.2 荷 载	(155)
3.3 容许应力法	(157)

3.4 半概率方法	(160)
3.5 基体金属强度	(169)
参考文献	(172)
4 焊接连接	(175)
4.1 焊接连接工艺	(175)
4.2 焊接接头强度	(183)
参考文献	(198)
5 机械连接	(200)
5.1 连接工艺	(200)
5.2 接头强度	(208)
5.3 螺栓抗剪接头	(212)
5.4 高强钢螺栓摩擦接头	(222)
5.5 铆钉抗剪接头	(228)
参考文献	(230)
6 结构件强度	(232)
6.1 正常使用极限状态	(232)
6.2 承载能力极限状态	(237)
6.3 截面抗弯性能	(247)
6.4 弹性极限后的截面性能	(291)
参考文献	(315)
7 结构件稳定性	(318)
7.1 一般原理	(318)
7.2 受压构件	(337)
7.3 受弯构件	(415)
7.4 压弯构件	(424)
7.5 板	(442)
参考文献	(475)
部分英汉名词对照	(483)

1 铝和它的合金

1.1 引 言

土木工程采用铝合金是一个新的发展趋势。航空工业，从早期的 Schwarz 和 Zeppelin 飞船到现代的 Concorde 和 Tupolev Tu-144 飞机，早已广泛并成功地采用了铝合金。其他运输部门，如铁路工业(地铁客车，卧车)、汽车工业(运货汽车的集装箱，活动式吊车)和造船工业(民用和军用水上飞机、汽艇)等，现在也都成功地采用了这类材料。

这种“新”材料——铝和它的合金——怎样满足土木工程结构的要求？铝合金在哪些方面应用才能与更广泛使用的材料——钢竞争？本书试图从主要方面解答这些问题并逐个加以论述。

应当指出，本书主要是写给结构工程师的。他们对钢结构比较熟悉，因为它们广为人知而且在金属结构中被较广泛采用。因此，书中将常常提到钢。这样，这两种材料将连续进行比较，以突出铝合金的特有性能和优缺点。希望这样的比较能为结构工程师提供应用铝合金的足够知识，以便他们能在设计中应用。

首先，铝合金构件都可以称为“工业杆件”，这意味着它们不可避免地受那些与生产过程有关的机械性能缺陷和几何缺陷的影响。对这类构件提出极限状态概念。对欧洲铝合金结构规程和